

ARTIGO / ARTÍCULO / ARTICLE

Una nueva especie del género *Stagetus* Wollaston, 1861 de Teruel, Península Ibérica (Coleoptera: Ptinidae: Dorcatominae).

Amador Viñolas

Museu de Ciències Naturals de Barcelona. Laboratori de Natura. Col·lecció d'Artròpodes.
Passeig Picasso, s/n. E-08003 Barcelona. e-mail: av.rodama@gmail.com

Resumen: Se describe el Dorcatominae *Stagetus albarracinus* n. sp. (Coleoptera: Ptinidae) de la Sierra de Albarracín, Teruel (Península Ibérica). Los ejemplares fueron recolectados en un muestreo realizado con trampa de luz, en la Paridera del Carmen (Albarracín), para el conocimiento de la biodiversidad de lepidópteros de la zona. Se acompaña la modificación de la clave para la Península Ibérica del grupo de especies de *Stagetus byrrhoides* (Mulsant & Rey, 1861), especies con calo humeral, al que pertenece la nueva especie. La descripción se complementa con la representación gráfica del habitus y detalles morfológicos de la nueva especie y de las especies ibéricas más próximas, así como de su ubicación geográfica. También se relacionan otras especies de Ptinidae capturadas en el muestreo.

Palabras clave: Coleoptera, Ptinidae, Dorcatominae, *Stagetus albarracinus* n. sp., Albarracín, Teruel, Península Ibérica.

Abstract: A new species of the genus *Stagetus* Wollaston, 1861 from Teruel, Iberian Peninsula (Coleoptera: Ptinidae: Dorcatominae). The Dorcatominae *Stagetus albarracinus* sp. n. (Coleoptera: Ptinidae) from Sierra de Albarracín, Teruel (Iberian Peninsula) is described. The specimens were collected in a study on the biodiversity of Lepidoptera in Paridera del Carmen (Albarracín), conducted with light traps. The modification of the Iberian key to the *Stagetus byrrhoides* (Mulsant & Rey, 1861) species-group, species with humeral projection, to which the new species belongs, is given. The description is complemented with the graphical representation of the habitus and morphological features of the new species and the Iberian related species, as well as its geographic location. Other species of the family Ptinidae collected in the study are also reported.

Key words: Coleoptera, Ptinidae, Dorcatominae, *Stagetus albarracinus* n. sp., Albarracín, Teruel, Iberian Peninsula.

Recibido: 10 de septiembre de 2016

Aceptado: 16 de septiembre de 2016

Publicado on-line: 28 de septiembre de 2016

urn:lsid:zoobank.org:pub:E0D3EDB7-9B81-4CE9-9E15-73AC0B3E0E58

Introducción

Se estudian los Ptinidae (Coleoptera) recolectados con trampa de luz durante dos días en la zona de Albarracín, Teruel. De las cuatro especies determinadas de Ptinidae, una de ellas es nueva para la ciencia, perteneciente al género *Stagetus* Wollaston, 1861. En Viñolas (2016)¹, junto con la descripción de una nueva especie del género de Castellón, se actualizó la clave de la revisión ibérica del género de Viñolas (2013), del grupo de especie sin calo humeral. Ahora, con la descripción de *S. albarracinus* n. sp., se adjunta la modificación de la clave de las especies ibéricas con calo humeral.

Con la descripción de la nueva especie se acompaña una representación gráfica del habitus, antenas, último artejo de los palpos maxilares y labiales, piezas ventrales, punteado pronotal y edeago

¹ En la nota de Viñolas (2016) sobre el grupo de especies sin calo humeral, con la descripción de una nueva especie de este grupo, hay un *lapsus calami* en el último párrafo de la introducción. **Donde dice** «Junto con la descripción se adjunta la modificación de la clave del grupo de *S. hirtulus*, especies con calo humeral, de la...» **debe decir** «Junto con la descripción se adjunta la modificación de la clave del grupo de *S. hirtulus*, especies sin calo humeral, de la...».

con detalle del lóbulo medio, además del mapa de localización. Se adjunta el material estudiado de las otras especies recolectadas de la familia, comentando su actual distribución y en el caso de *Ptinus (Gynopterus) pyrenaicus* Pic, 1897 su curiosa biología.

Con la descripción de *S. albarracinus* n. sp. son ya 14 las especies conocidas del género en la Península Ibérica e Islas Baleares.

Material y métodos

Se realizó un muestreo mediante trampa de luz UV durante dos días en la Paridera del Carmen de Albarracín. Se procedió a la separación de los coleópteros recolectados, los cuales se prepararon en seco para su estudio. Se obtuvieron, entre otros, cuatro especies pertenecientes a la familia Ptinidae.

En los ejemplares de Ptinidae, se procedió a la extracción del edeago para su estudio, el cual tras tratamiento de limpieza y extracción del aire se montó en preparación microscópica sobre una lámina de estireno transparente de la marca Evergreen® con líquido DMHF. Las fotografías se realizaron con una cámara Canon® modelo EOS 760D, con objetivo de microscopía y por el método de capas, con tratamiento de las imágenes mediante el programa Zerene Stacker®. Los dibujos se realizaron con el programa de Adobe® Illustrator CS5, con la obtención de archivos PostScript® 3™. El mapa se generó a través del visor del Sistema de Información Geográfica de parcelas agrícolas (SIGPAC).

Resultados

Subfamilia Ptininae Latreille, 1802

Dignomus lusitanicus (Illiger, 1807)

Material estudiado: 1♂♂ y 12 ♀♀, etiquetados: «8/9-VIII-2016, 1277 m, Paridera del Carmen, 40°25'8,79"N 1°26'58,40"O, Albarracín, Teruel, R. Macià leg.»

Especie descrita de Portugal y con una amplia distribución ibérica; conocida también de Francia, el norte de África e islas mediterráneas occidentales (Bellés, 1996; Calmont, 2016).

Ptinus (Gynopterus) pyrenaicus Pic, 1897

Material estudiado: 1♂, etiquetado: «8/9-VIII-2016, 1277 m, Paridera del Carmen, 40°25'8,79"N 1°26'58,40"O, Albarracín, Teruel, R. Macià leg.»

Interesante especie asociada a los nidos de abejas solitarias de los géneros *Osmia* Panzer, 1806 y *Heriades* Spinola, 1808 (Hymenoptera: Apidae) (Bellés & Bosch, 1994). Descrita de Cauterets, Altos Pirineos franceses y conocida de ambas vertientes pirenaicas, se distribuye en España por el área nororiental, Meseta y Andalucía. De la provincia de Teruel sólo se conocía una cita, sin indicación precisa (Bellés & Bosch, 1994).

Subfamilia Dorcatominae C.G. Thomson, 1859

Stagetus elongatus (Mulsant & Rey, 1861)

Material estudiado: 2♂♂ y 7♀♀, etiquetados: «8/9-VIII-2016, 1277 m, Paridera del Carmen, 40°25'8,79"N 1°26'58,40"O, Albarracín, Teruel, R. Macià leg.»

Especie de distribución mediterránea, conocida del sur de Europa, norte de África y Oriente Próximo. En la Península se ha citado de Andorra y España: Almería, Barcelona, Ciudad Real, Huesca, Lleida, Murcia, Tarragona, Teruel y Zaragoza (Viñolas & Masó, 2008; Viñolas, 2013). De Teruel sólo habíamos podido estudiar material de Moscardón.

***Stagetus albarracinus* n. sp.**

Diagnosis. La presencia de calo humeral sitúa la especie en el grupo de *Stagetus byrrhoides* (Mulsant & Rey, 1861) (Español, 1969). Bien diferenciada de las demás especies del grupo de *byrrhoides* presentes en África, Europa y Asia (Español, 1969; Viñolas & Masó, 2008; Viñolas, 2013) por la conformación del doble punteado pronotal, fosulado el mayor (Fig. 12). Dicho modelo de punteado está presente también en *Stagetus espadanensis* Viñolas, 2016 (Fig. 11), especie situada en el grupo de *S. hirtulus* Wollaston, 1861 (Viñolas, 2013, 2016), bien diferenciada de *S. albarracinus* n. sp. por carecer de calo humeral, por el cuerpo proporcionalmente más corto y de contorno oval y, sobre todo, por la conformación muy diferente del edeago (Viñolas, 2016).

El cuerpo proporcionalmente alargado y de contorno subparalelo sitúa la especie en las cercanías de *S. elongatus* (Mulsant & Rey, 1861), con el que convive, pero bien diferenciada de éste por la talla mayor, el punteado pronotal, la pubescencia muy densa de la parte superior del cuerpo, por los intervalos elitrales anchos y provistos de pliegues horizontales y, sobre todo, por la conformación muy diferente del edeago.

La estructura del edeago (Fig. 7) y del ápice del lóbulo medio (Fig. 9) la sitúa en las cercanías de *S. micoae* Viñolas, 2011 (Figs. 8, 10), pero se diferencia bien de ésta por los parámetros más anchos, las piezas ventrales más gráciles, el saco interno evaginado provisto de pequeños dientes, inerte en *micoae*, y por el lóbulo medio con una estructura más sencilla, con sólo una pieza central (Fig. 9), con una estructura más compleja en *micoae* (Fig. 10).

Descripción.

Longitud del ♂: 3,10 a 3,55 mm. Cuerpo convexo, de contorno subparalelo y de color pardo negruzco bastante obscuro (Fig. 1); antenas y palpos testáceos rojizos, con el escapo antenal y las patas del mismo color, castaño rojizo, que el pro-, meso-, metasternón y abdomen; pubescencia de la parte superior del cuerpo larga y de color amarillento, la pronotal semierecta y dirigida de la base hacia los márgenes laterales, la elitral doble, semierecta y erecta, muy densa y dirigida de la base hacia el ápice.

Cabeza grande, no excavada por debajo y cubierta en gran parte por el protórax; ojos bien desarrollados, convexos y algo salientes; superficie superior reticulada fosulada. Antenas de once artejos, con la maza proporcionalmente larga (Fig. 2); funículo con el primer artejo un poco más largo que ancho, el segundo mucho más largo que ancho, y del tercero al octavo dentados y progresivamente desarrollados lateralmente; la longitud de la suma de los artejos del funículo es menor que la de los artejos de la maza. Último artejo de los palpos maxilares largo, no muy ancho y nada acuminado en el ápice (Fig. 4). Último artejo de los palpos labiales grueso y un poco más largo que ancho (Fig. 6).

Protórax transverso, 1,5 veces más ancho que largo, con la máxima anchura en la base, de contorno en línea estrechada de la base al ápice; márgenes laterales visibles por encima sólo en el tercio basal, estrechados en línea de la base al ápice, con el borde bien indicado y explanado junto a los ángulos posteriores; ángulos anteriores subrectos y bien marcados, los posteriores obtusos y algo redondeados; el ápice de contorno ligeramente sinuado y la base sinuada con el lóbulo medio saliente y ampliamente redondeado; superficie con el punteado doble, el grande fosulado y muy denso por igual en toda la superficie, el pequeño muy disperso y poco visible entre el mayor (Fig. 12).

Escutelo redondeado, tan largo como ancho. Élitros de contorno subparalelo y anchamente redondeados en la parte apical, 1,47 veces más largos que anchos tomados conjuntamente; calo humeral bien indicado; la base tan ancha como la del protórax, finamente bordeada en toda su longitud; ángulos humerales obtusos y ligeramente explanados, todas las estrías, incluida la escutelar, bien impresas por igual, el punteado bien marcado, no desbordando su contorno, excepto en las marginales en las que el punteado es mucho mayor; los intervalos discales y humerales planos, los marginales convexos, la superficie con punteado muy disperso y poco visible debido a los densos pliegues horizontales de los intervalos.

Procoxas contiguas, diferenciando dorsalmente una superficie transversa y elevada; meso- y metacoxas separadas (Fig. 13); mesosternón con un saliente medio longitudinal muy estrecho y largo, lobulado en el medio (Fig. 13); metasternón transverso, dos veces más ancho que largo, profundamente surcado longitudinalmente en la parte central y con densa pubescencia amarillenta dirigida transversalmente en la mitad apical, superficie con la zona discal lisa y el resto con punteado que se hace más denso hacia los márgenes (Fig. 13). Abdomen poco convexo, con el saliente intercoxal del primer esternito redondeado en el ápice y totalmente excavado para la recepción de las patas posteriores en reposo, del segundo al cuarto esternito con las suturas sinuadas y borradas en la parte central; superficie densamente punteada en la parte central, la pubescencia corta, amarillenta y muy dispersa (Fig. 14). Fémures y tibias gráciles (Figs. 1, 13).

Edeago según Fig. 7; los parámetros anchos, con la parte apical pubescente y prolongados en el ápice con una explanación del borde interno; lóbulos pubescentes de los parámetros grandes; lóbulo medio bien esclerotizado y estrecho, con una característica pieza media en el centro, ápice cerrado y con forma de media luna (Fig. 9); el saco interno evaginado provisto de pequeños dientes y con un largo mechón apical de pubescencia; piezas medias estrechas y situadas en la mitad apical.

Hembra desconocida.

Material estudiado.

Holotipus: 1♂, etiquetado: «8/9-VIII-2016, 1277 m, Paridera del Carmen, 40°25'8,79"N 1°26'58,40"O, Albarracín, Teruel, R. Macià leg.» «HOLOTYPUS, *Stagetus, albarracinus* n. sp., A. Viñolas det. 2016». Depositado en la colección A. Viñolas.

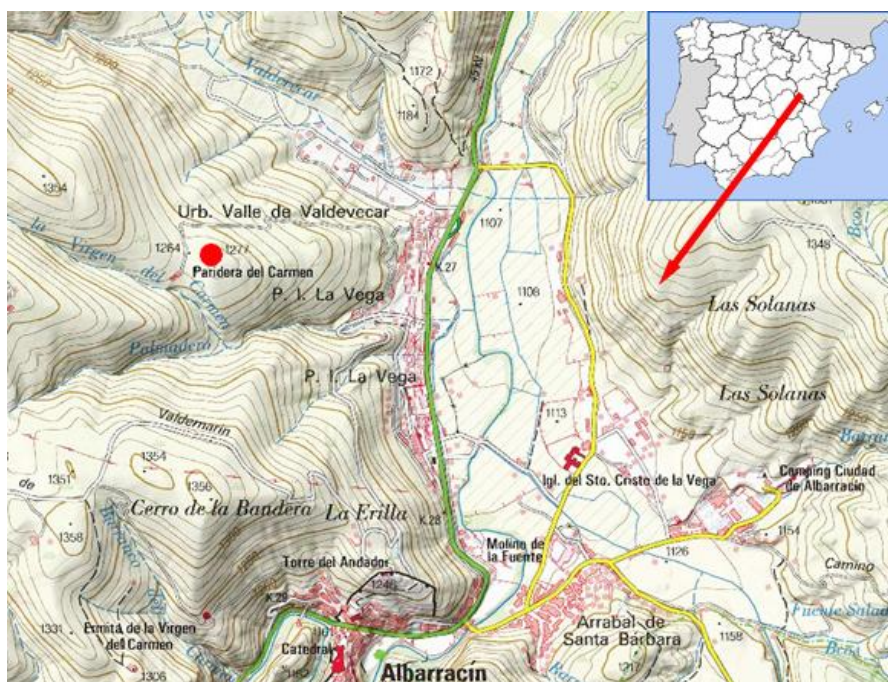
Paratypus: 3♂♂, etiquetados: «8/9-VIII-2016, 1277 m, Paridera del Carmen, 40°25'8,79"N 1°26'58,40"O, Albarracín, Teruel, R. Macià leg.» «PARATYPUS, *Stagetus, albarracinus* n. sp., A. Viñolas det. 2016». Depositados en la colecciones de A. Viñolas y del Museu de Ciències Naturals de Barcelona.

Biología. Se desconoce al estar recolectados todos los ejemplares con trampa de luz, aunque convive, en la zona, con *S. elongatus* (Mulsant & Rey, 1861).

Etimología. Nombre de Albarracín, Sierra de Albarracín, término municipal de Albarracín, Teruel, donde fueron colectados los ejemplares tipo de la especie.

Distribución. Sólo se conoce, de momento, de la Paridera del Carmen, Barranco de la Virgen del Carmen, Albarracín, en la provincia de Teruel (Mapa 1).

Mapa 1.- Lugar de recolección (punto rojo), Paridera del Carmen, 1.277 m, Albarracín, Teruel.



Modificación de la clave específica del grupo de *S. byrrhoides*

Se adjunta la clave específica del grupo de *S. byrrhoides* en el área peninsular, especies con calo humeral, clave que modifica la existente en la revisión del género de la Península Ibérica e Islas Baleares de Viñolas (2013) y complementan la addenda de Viñolas (2016). La numeración en itálica corresponde a las figuras representadas en la revisión de Viñolas (2013) y en negrilla a las del presente trabajo.

- | | | |
|-----|---|--|
| 1. | Élitros sin calo humeral | 2 grupo de <i>S. hirtulus</i>
(ver Viñolas, 2016) |
| - | Élitros con calo humeral, más o menos indicado, pero siempre presente | 4 |
| 4. | Parámetros del edeago bastante gráciles, con el ápice bífido y el lóbulo pubescente, bastante desarrollado, insertado lateralmente (Figs. 33-34, 38) | 5 |
| - | Parámetros del edeago anchos o muy anchos y cortos, con el ápice nunca bífido y el lóbulo pubescente siempre situado en el ápice (Figs. 28, 30, 32, 35-37, 7) | 7 |
| 5. | Antenas con el sexto y séptimo artejos poco desarrollados y parecidos (Fig. 26); último artejo de los palpos maxilares según Fig. 14; edeago con los parámetros no muy largos y anchos, lóbulos pubescentes gruesos y situados cerca del ápice (Fig. 38) | <i>S. puncticollis</i> (Reitter) |
| - | Antenas con el séptimo artejo mas desarrollado que el sexto (Figs. 21-22); último artejo de los palpos maxilares según Figs. 9-10; edeago con los parámetros largos y gráciles, lóbulos pubescentes gráciles y situados en el tercio apical..... | 6 |
| 6. | Edeago con los parámetros sencillos y el ápice recto, diente apical interna más larga; lóbulos de los parámetros totalmente pubescentes (Fig. 34) | <i>S. franzi</i> Español |
| - | Edeago con la parte apical de los parámetros doble y el ápice recurvado, diente apical interno no muy grande; lóbulos de los parámetros con pubescencia sólo en la parte apical (Fig. 35) | <i>S. ferreri</i> Español |
| 7. | Funículo de las antenas con los artejos sexto, séptimo y octavo tan anchos como el noveno (Fig. 18); último artejo de los palpos maxilares según Fig. 6; edeago con el lóbulo de los parámetros grande, tan ancho como éstos y prácticamente fusionados, lóbulo medio poco esclerotizado (Fig. 30) | <i>S. cobosi</i> Viñolas |
| - | Funículo de las antenas con sólo el octavo artejo tan ancho o casi tan ancho como el noveno (Figs. 16, 19-20, 23-25, 2); último artejo de los palpos maxilares según Figs. 4, 7-8, 11-13, 4; edeago con el lóbulo de los parámetros corto o largo pero siempre más estrecho y bien diferenciado, lóbulo medio bien esclerotizado (Figs. 28, 31, 35-37, 7) | 8 |
| 8. | La suma de los artejos segundo a octavo de las antenas, mayor que el noveno y décimo tomados conjuntamente (Figs. 20, 23) | 9 |
| - | La suma de los artejos segundo a octavo de las antenas, igual o más corta que el noveno y décimo tomados conjuntamente (Figs. 16, 24-25, 2) | 10 |
| 9. | Antenas con el séptimo artejo del funículo normal (Fig. 20); último artejo de los palpos maxilares según Fig. 8; edeago con los parámetros con un pequeño diente en el ápice, lóbulo de los parámetros poco desarrollado, lóbulo medio con el saco interno, evaginado, inerme (Fig. 32) | <i>S. elongatus</i> (Mulsant & Rey) |
| - | Antenas con el séptimo artejo del funículo ganchudo (Fig. 23); último artejo de los palpos maxilares según Fig. 11; edeago con los parámetros desprovistos de diente apical en el ápice, lóbulo de los parámetros muy desarrollado, lóbulo medio con el saco interno, evaginado, provisto de una corona basal de espinas (Fig. 35) | <i>S. maciai</i> Viñolas |
| 10. | Élitros con las estrías discales bien indicadas y el punteado desbordando su contorno, las estrías humerales y marginales sólo formadas por puntos gruesos; último artejo de los palpos maxilares según Fig. 12; edeago con el lóbulo medio muy bien caracterizado (Fig. 36) | <i>S. micoae</i> Viñolas |
| - | Élitros con todas las estrías bien indicadas y el punteado pequeño no desbordando su contorno, excepto las marginales; edeago según Figs. 28, 31, 37, 7 | 11 |

11. Talla grande de 3,1 a 3,5 mm; protórax con la superficie fuertemente fosulada reticulada, el punteado pequeño poco visible; antenas con los artejos del funículo muy desarrollados (Fig. 2); último artejo de los palpos maxilares según Fig. 4; edeago (Fig. 7) con los lóbulos de los parámetros largos, el lóbulo medio con una pieza muy esclerotizada en la parte media (Fig. 9), saco interno, evaginado, provisto de pequeños dientes *S. albarracinus* n. sp.
- Talla pequeña de 1,5 a 2,5 mm; protórax con la superficie con punteado doble bien indicado, el mayor nunca fosulado, ni reticulado; edeago según Figs. 28, 31, 37 12
12. Antenas poco gráciles, con los artejos noveno y décimo proporcionalmente anchos (Fig. 16); último artejo de los palpos maxilares según Fig. 4; edeago con el lóbulo pubescente de los parámetros muy corto, sin dientes en la parte apical interna de los parámetros, el diente basal medio estrecho y largo (Fig. 28) *S. byrrhoides* (Mulsant & Rey)
- Antenas gráciles, con los artejos noveno y décimo proporcionalmente estrechos (Figs. 19, 25); edeago con el lóbulo pubescente de los parámetros largo, con dientes o piezas en la parte apical interna de los parámetros (Figs. 31, 37) 13
13. Antenas con el cuarto artejo del funículo dentado (Fig. 25); último artejo de los palpos maxilares según Fig. 13; edeago con dientes en la parte apical interna de los parámetros, el diente basal medio ancho y corto, el saco interno, evaginado, inerme (Fig. 37) *S. pilula* (Aubé)
- Antenas con el cuarto artejo del funículo no dentado (Fig. 19); último artejo de los palpos maxilares según Fig. 7; edeago con piezas en el ápice de los parámetros, el saco interno, evaginado, provisto de una corona de espinas, el lóbulo medio con dos piezas similares a los de los parámetros (Fig. 31) *S. confusus* Viñolas

Agradecimientos

Se agradece a Ramon Macià, de Vic, la cesión para estudio de los coleópteros recolectados en sus campañas entomológicas por el territorio ibérico y que tantas novedades han reportado.

A Josep Muñoz, de Girona, la revisión y ayuda en la confección del presente trabajo.

Referencias

- Bellés, X. 1996. El género *Dignomus* Wollaston (Coleoptera, Ptinidae). *Bolletí de la Societat d'Història Natural de les Balears*, **39**: 209-228.
- Bellés, X. & Bosch, J. 1994. Nuevos datos taxonómicos, corológicos y biológicos sobre *Ptinus* (*Gynopterus*) *pyrenaeus* Pic (Coleoptera, Ptinidae). *Orsis*, **9**: 77-84.
- Calmont, B. 2016. *Coléoptères Gibbinae et Ptininae de France*. Arvensis, hors-série n° 2. 202 pp.
- Español, F. 1969. Notas sobre anóbidos. 35: Los *Stagetus* Woll. del Mediterráneo occidental. *Eos*, **44** (1968): 105-119.
- Viñolas, A. 2013. Els Dorcatominae de la península Ibèrica i illes Balears. 3a nota. El gènere *Stagetus* Wollaston, 1861, amb la descripció de *S. confusus* n. sp. (Coleoptera: Ptinidae). *Orsis*, **27**: 95-121.
- Viñolas, A. 2016. Un nuevo *Stagetus* Wollaston, 1861 de Castellón, Península Ibérica (Coleoptera: Ptinidae: Dorcatominae). *Arquivos Entomológicos*, **15**: 57-64.
- Viñolas, A. & Masó, G. 2008. Revisión del género *Stagetus* Wollaston, 1861, en el África continental: descripción de n. sp. y nuevas citas para la Península Ibérica. *Falsostagetus* n. gen. y n. sp. para el África austral (Coleoptera: Anobiidae: Dorcatominae). *Butlletí de la Institució Catalana d'Història Natural*, **74** (2006): 37-80.

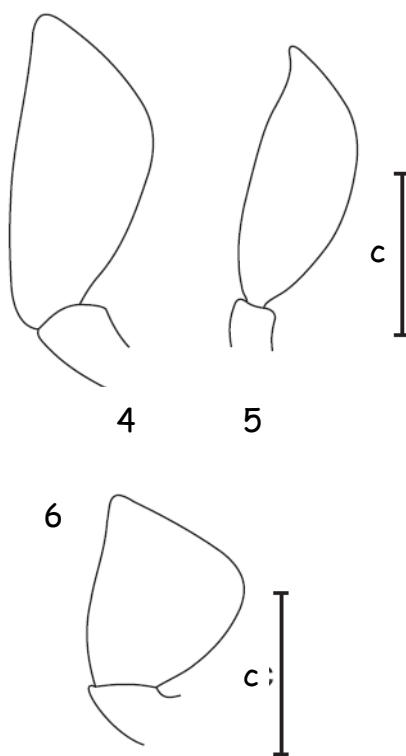
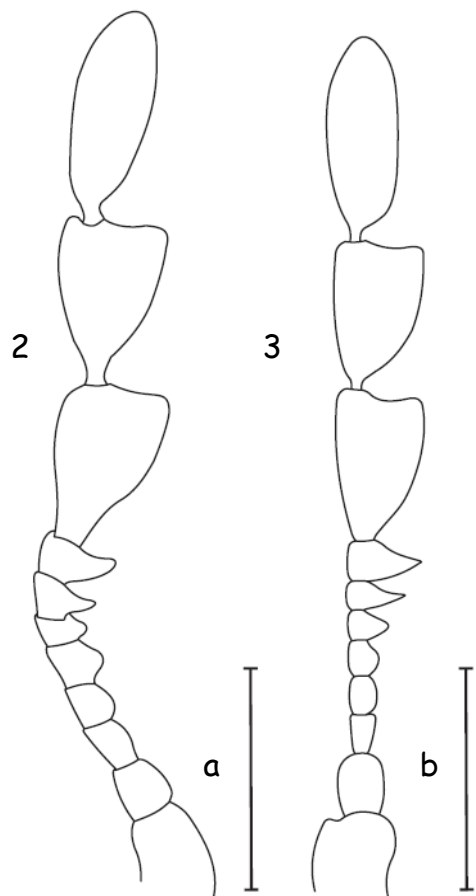
Fig. 1.- Holotipo ♂ de *Stagetus albarracinus* n. sp., de Albarracín, Teruel. Escala = 1 mm.

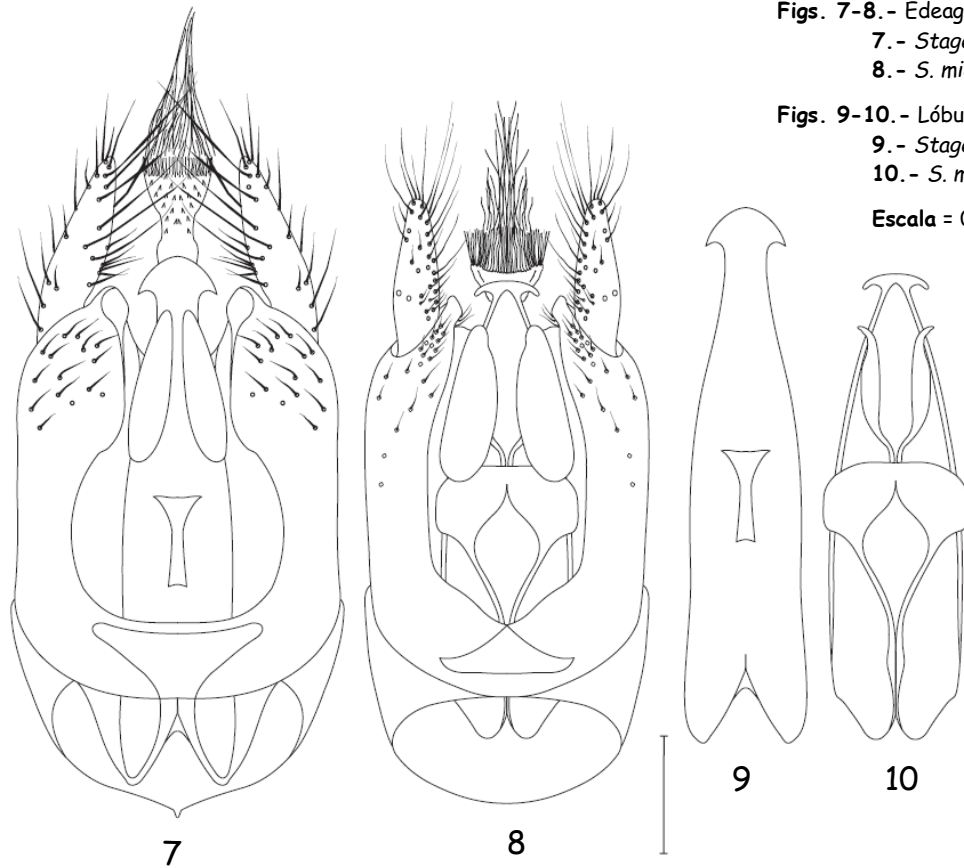
Figs. 2-3.- Antena del macho de:
2.- *Stagetus albarracinus* n. sp.
3.- *S. micoae* Viñolas, 2011.

Figs. 4-5.- Último artejo de los palpos maxilares de:
4.- *S. albarracinus* n. sp.
5.- *S. micoae* Viñolas, 2011.

Fig. 6.- Último artejo de los palpos labiales de *S. albarracinus* n. sp.

Escalas: a = 0,4 mm; b = 0,2 mm; c = 0,1 mm.





Figs. 7-8. - Edeago en visión ventral de:
 7.- *Stagetus albarracinus* n. sp.
 8.- *S. micoae* Viñolas, 2011.

Figs. 9-10. - Lóbulo medio en visión ventral de:
 9.- *Stagetus albarracinus* n. sp.
 10.- *S. micoae* Viñolas, 2011.

Escala = 0,1 mm.

Figs. 11-12. - Punteado pronotal de:
 11.- *Stagetus espadanensis*
 Viñolas, 2016
 12.- *S. albarracinus* n. sp.

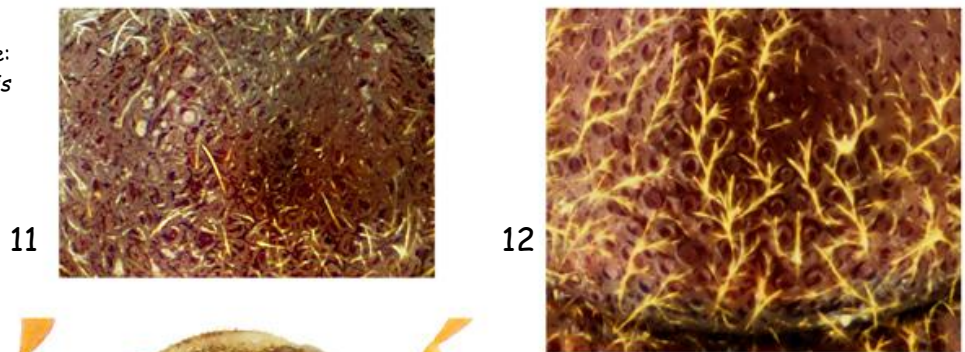


Fig. 13. - Pro- meso- y metasternón del macho de *S. albarracinus* n. sp.

Fig. 14. - Abdomen del macho de *S. albarracinus* n. sp. **Escala Figs. 13-14 = 0,5 mm.**